

Figure 1 : montage Raman normal (à 90 degrés) avec double monochromateur (détection dite monocanal, soit une longueur d'onde après l'autre vers le détecteur).

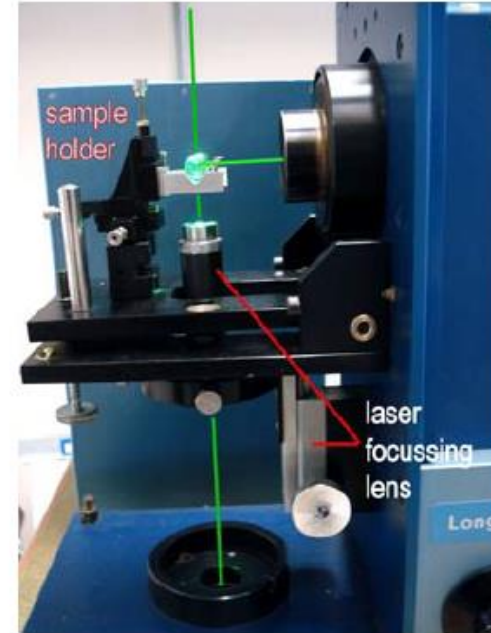
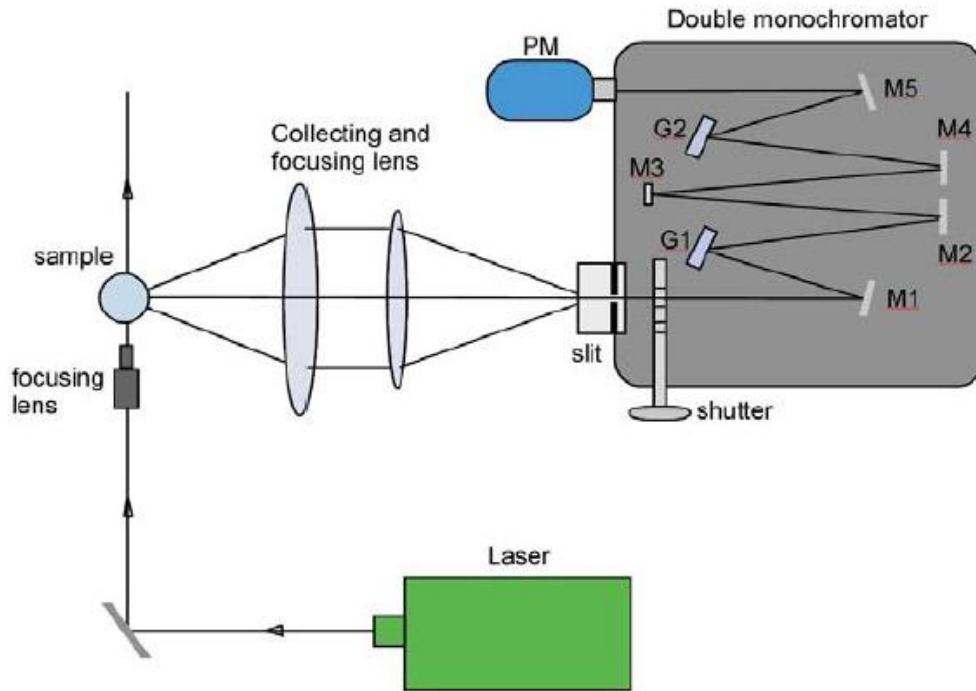


Figure 2 : montage Raman confocal (à travers un microscope), donc à 180 degrés, avec une détection dite multicanal (système de dispersion de la lumière vers un Capteur CCD)

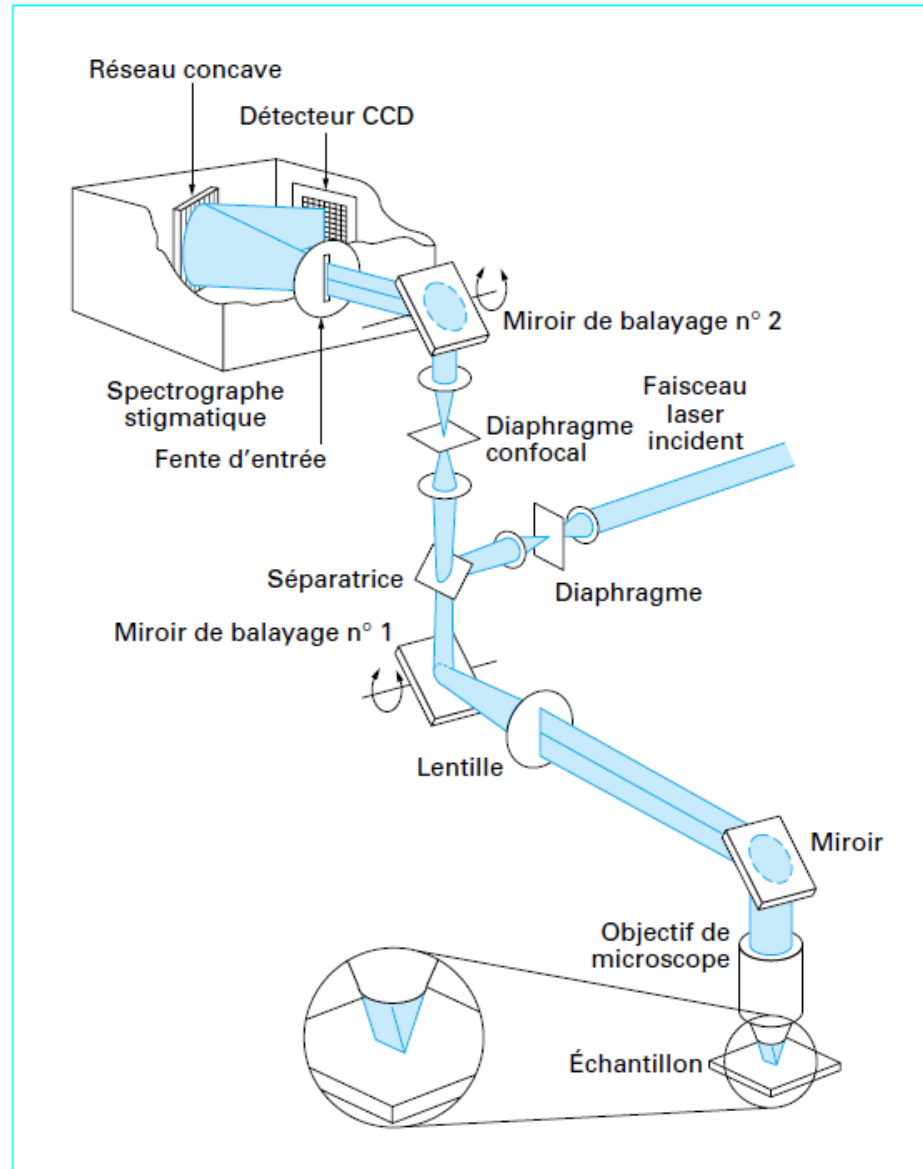
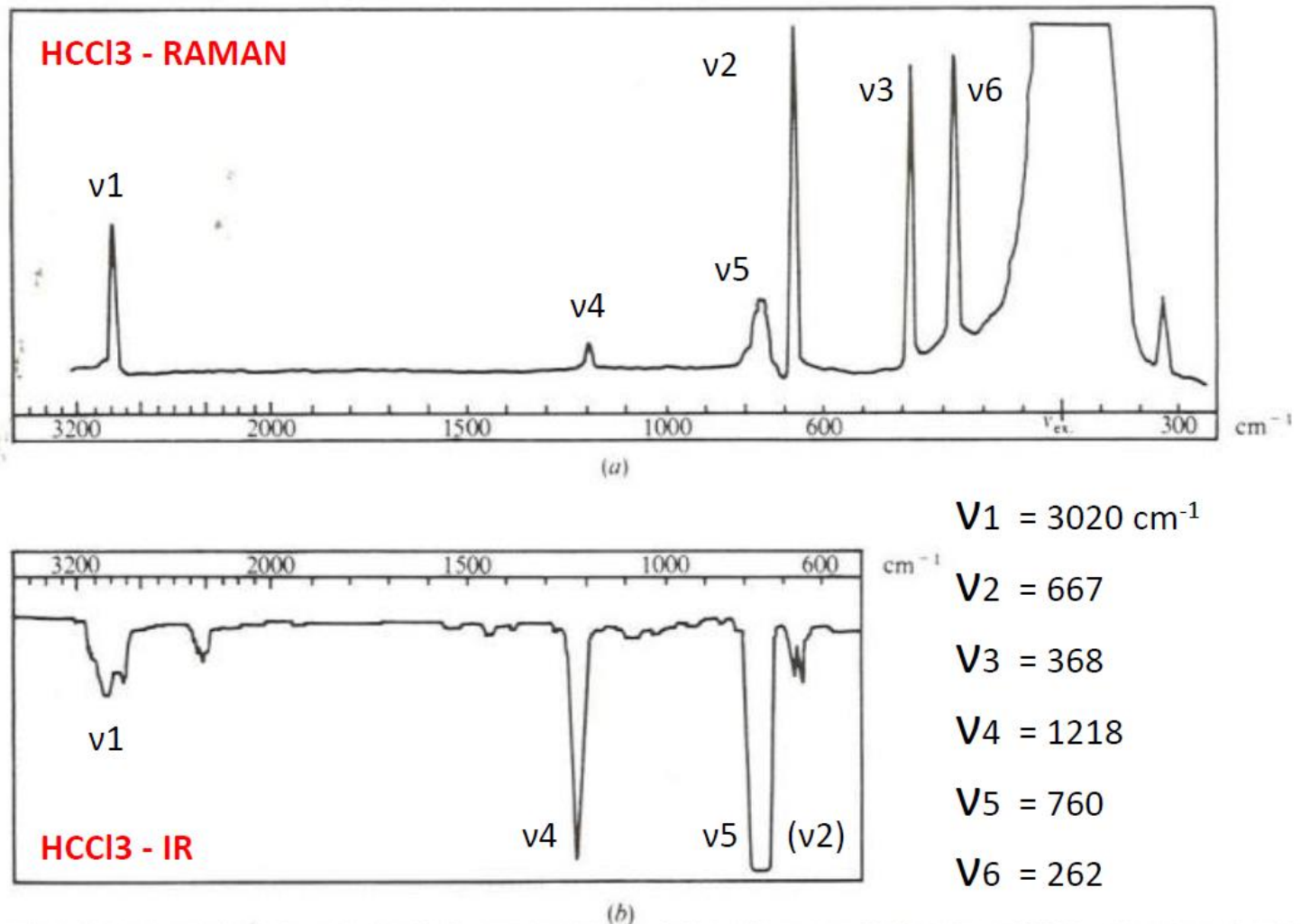


Figure 3 : comparaison des spectres Raman et IR de  $\text{HCCl}_3$  (chloroforme) liquide



**Figure 4.9** Comparison between (a) the Raman and (b) the infra-red spectra of chloroform,  $\text{CHCl}_3$ , demonstrating the coincidence of bands. In both spectra there is a scale change at  $2000 \text{ cm}^{-1}$ . The weak absorption at about  $2400 \text{ cm}^{-1}$  in the infra-red is an overtone of the very strong  $1200 \text{ cm}^{-1}$  band. (Thanks are due to Dr. Riley of the Brighton Polytechnic for assistance in obtaining the above Raman spectrum.)

Figure 4 : exemple de l'utilisation du Raman confocal pour la détermination de la présence de sulfures à la surface d'un grain de sédiment.

